

NOWCASTING SOLARE 10 LUGLIO 2015

L'attività solare nella giornata di oggi 10 luglio è risultata a livelli molto bassi, senza eruzioni solari di rilievo. La nuova Regione attiva 2385 si è formata rapidamente nel quadrante di nord-ovest che terremo monitorata. Poche le possibilità di Flare di classe C se non possibili con le Regioni attive 2381 e 2385.

L'attività solare è probabile che rimarra a livelli bassi nei prossimi tre giorni con piccole probabilità per Flare di classe M (R1-R2/Minore-Moderato) (10-12Luglio), dovuto principalmente alla maggior riacutizzazione della Regione 2381 e della nuova Regione 2385.

Ne consegue che:

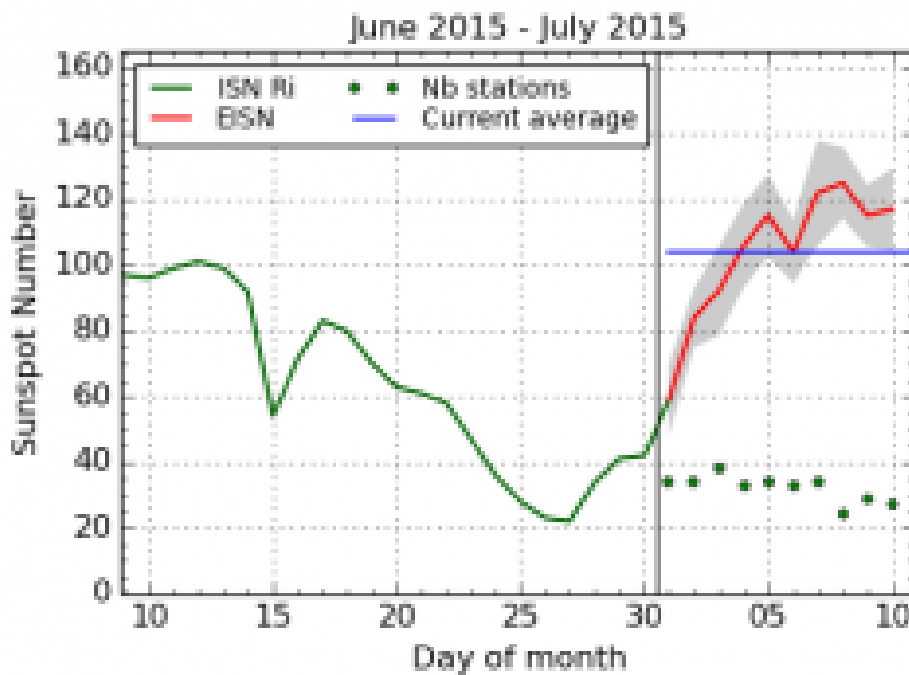
Il campo geomagnetico solare nel corso della giornata di oggi è risultato in stato "QUIET" mentre i Raggi X sono risultati in stato "ACTIVE"

La velocità del flusso solare a 2,8 GHz alle ore 20,00 è risultato di 129

La media mensile del flusso solare ad oggi è risultata di 122.3

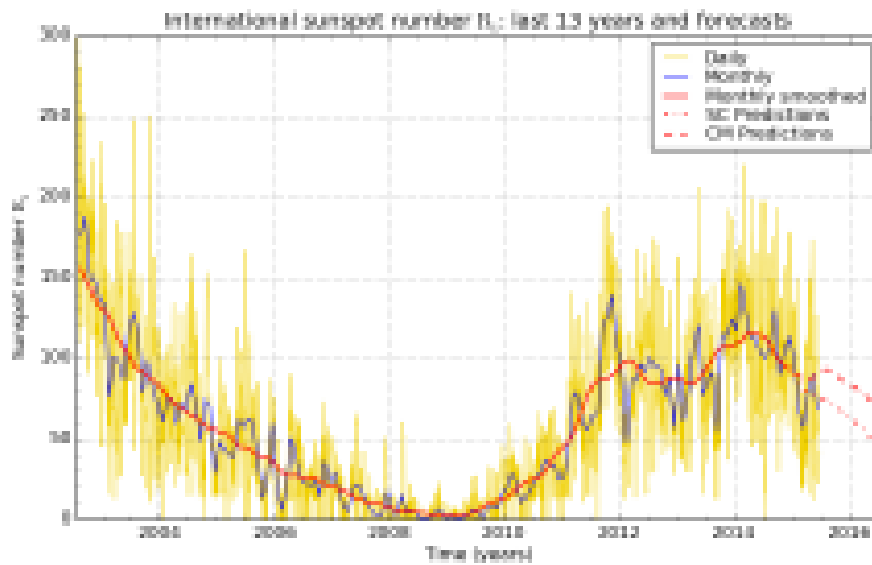
Il conteggio delle macchie solari (conteggio SILS0) è risultato di 117 macchie.

La media mensile delle macchie solari è risultata di 103.8 punti.



SILSO graphics (<http://sidc.be/silso>) Royal Observatory of Belgium, 2015 July 10

L'andamento delle macchie solari nell'ultimo mese del centro di conteggio SILSO



SILSO graphics (<http://sidc.be/silso>) Royal Observatory of Belgium, 2015 July 1

Andamento dell'attività solare negli ultimi 13 anni del centro di conteggio SILSO

La media mensile dell'indice AP è risultata nella giornata di ieri di 7.6

La velocità del vento solare attuale è di 475.7 km/s

La densità del vento solare attuale è di 26.4 protons/cm³

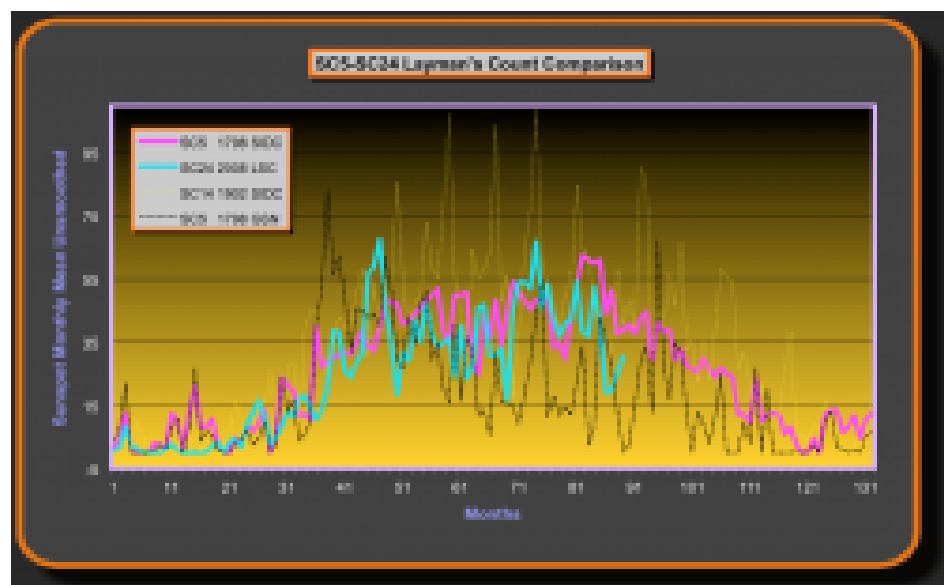
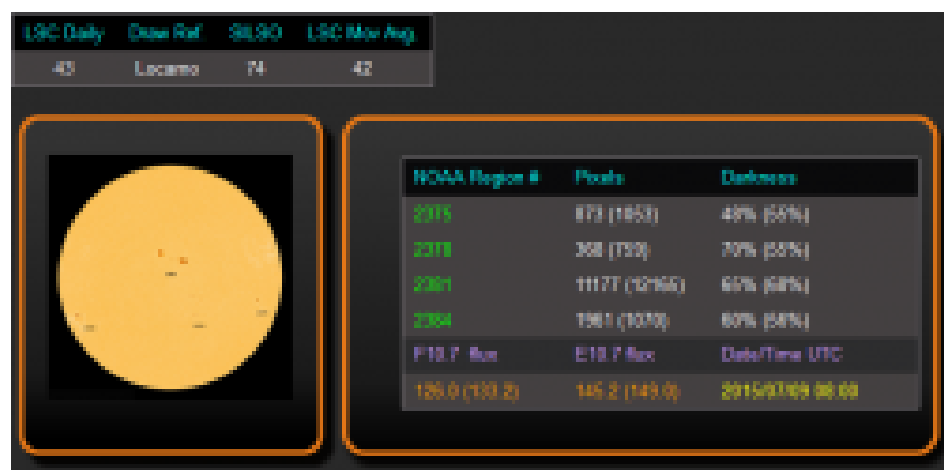
L'indice A attuale è di 25

L'indice K attuale è di 1

Il flusso dei raggi X attuale risulta di classe C 1.6

La componente BZ attuale è di 2.6 nT

Il conteggio delle macchie solari del Layman's (gestito da Geoff Sharp), nella giornata del 09 luglio alle ore 08:00 (ultimo aggiornamento disponibile) è risultato di 43 macchie che porta la media mensile a 42 macchie giornaliere.



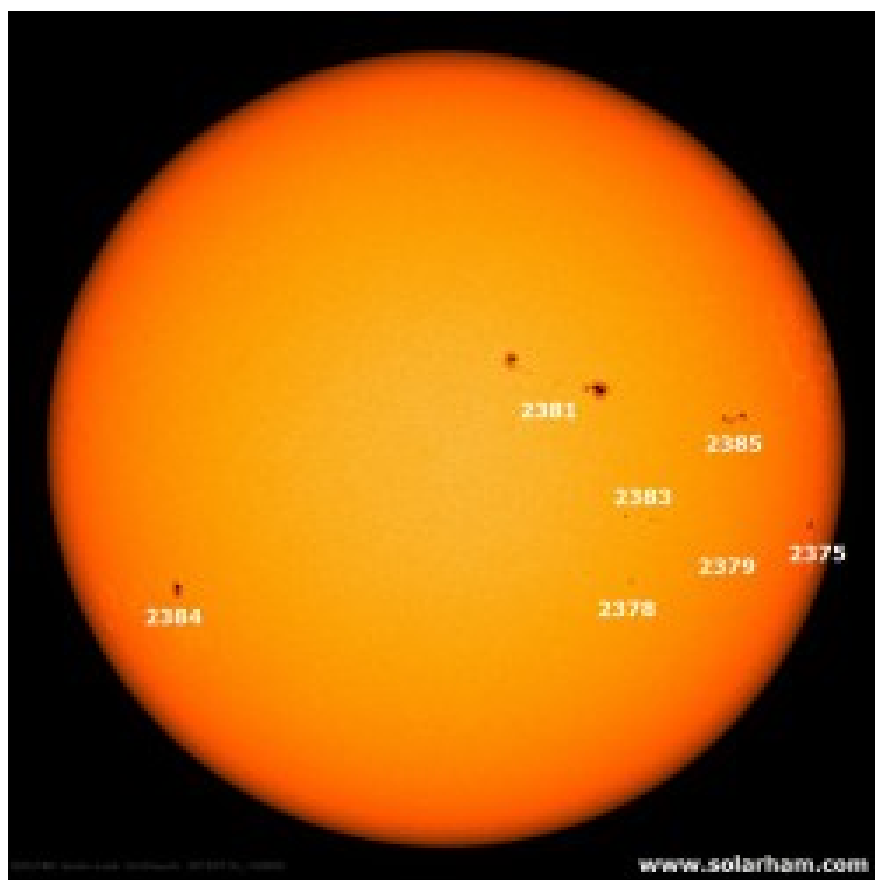
Confronto tra i due cicli, il ciclo 5 (minimo di Dalton colore fucsia) e il

ciclo 24 (ciclo attuale colore azzurro) per il metodo di conteggio del Layman's

Alle ore 18.00 UTC, il disco solare visibile da terra presentava 7 regioni attive (in risoluzione 2K da immagini SDO/HMI):

Num	Lat.,CMD	Long.	Area	Extent	class	count	class
-----	----------	-------	------	--------	-------	-------	-------

2373	N16W81	145	40	1	HSX	1	A
2375	S09W62	126	50	2	HSX	1	A
2378	S10W23	87	20	1	HSX	2	A
2379	S09W39	103	10	2	BX0	3	B
2381	N14W11	74	500	15	EK0	19	B
2383	S06W24	87	50	5	DS0	10	B
2384	S17E47	17	140	2	HSX	1	A



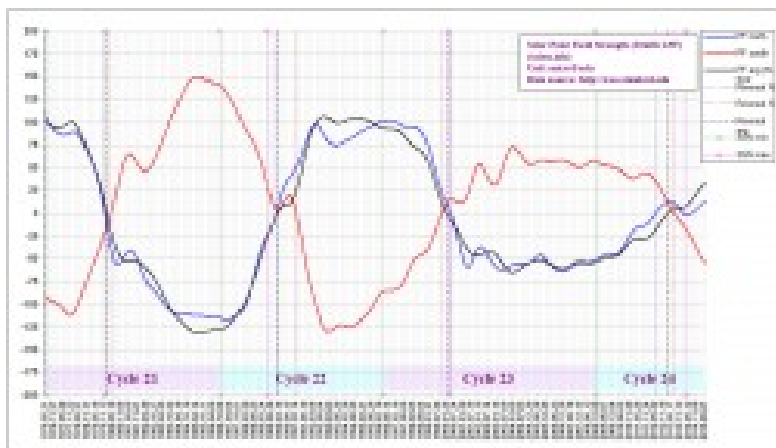
Aggiornamento del Polar Field del 03 luglio 2015

Diamo, come al solito, un veloce aggiornamento sul Polar Field aggiornato al 03 luglio 2015, che fa riferimento all'ultimo dato disponibile del 16 giugno 2015, e che lasceremo fino al prossimo aggiornamento.

I dati confermano il continuo avanzamento verso il minimo solare, con il nord emisfero piantato stabilmente a 13Nf. Avanza invece l'emisfero sud ancora di 2 punti, portandosi così a -61Sf. Di conseguenza la media Avgf avanza di un punto e risulta a 37Avgf.

2014:11:08_23h07m03s	58	-565	218ng	20hng	fill:	487	-565C	218ng F
2014:11:18_23h07m03s	60	-440	224ng	20hng	fill:	507	-400C	224ng F
2014:12:08_23h07m03s	60	-445	228ng	20hng	fill:	507	-425C	228ng F
2014:12:18_23h07m03s	59	-440	228ng	20hng	fill:	497	-425C	228ng F
2014:12:28_23h07m03s	-60	-405	278ng	20hng	fill:	497	-405C	278ng F
2014:12:28_23h07m03s	-60	-435	288ng	20hng	fill:	497	-435C	288ng F
2015:01:17_23h07m03s	59	-455	278ng	20hng	fill:	798	-455C	278ng F
2015:01:17_23h07m03s	59	-455	278ng	20hng	fill:	798	-455C	278ng F
2015:01:27_23h07m03s	100	-410	288ng	20hng	fill:	897	-470C	288ng F
2015:02:06_23h07m03s	100	-455	278ng	20hng	fill:	897	-455C	278ng F
2015:02:16_23h07m03s	80	-480	288ng	20hng	fill:	897	-500C	288ng F
2015:02:26_23h07m03s	60	-515	288ng	20hng	fill:	907	-515C	288ng F
2015:03:08_23h07m03s	170	-500	338ng	20hng	fill:	907	-520C	338ng F
2015:03:18_23h07m03s	270	-495	388ng	20hng	fill:	1007	-520C	388ng F
2015:03:28_23h07m03s	240	-525	388ng	20hng	fill:	1007	-545C	388ng F
2015:04:07_23h07m03s	180	-540	388ng	20hng	fill:	1007	-555C	388ng F
2015:04:17_23h07m03s	110	-555	388ng	20hng	fill:	1107	-555C	388ng F
2015:04:27_23h07m03s	100	-610	438ng	20hng	fill:	1107	-605C	438ng F
2015:05:07_23h07m03s	140	-645	438ng	20hng	fill:	1107	-675C	438ng F
2015:05:17_23h07m03s	180	-680	438ng	20hng	fill:	1207	-680C	438ng F
2015:05:27_23h07m03s	120	-605	488ng	20hng	fill:	1307	-595C	488ng F
2015:06:06_23h07m03s	60	-760	438ng	20hng	fill:	1307	-655C	438ng F
2015:06:16_23h07m03s	50	-750	468ng	20hng	fill:	1307	-655C	468ng F

<http://wso.stanford.edu/Polar.html#latest>



<http://www.solen.info/solar/polarfields/polar.html>

Enzo

Attività Solare